



# БИООРГАНИЧЕСКАЯ ХИМИЯ

том 8 • №10 • 1982

УДК 577.158:547.963.02

## ПЕРВИЧНАЯ СТРУКТУРА

### 20S,22R-ХОЛЕСТЕРИНГИДРОКСИЛИРУЮЩЕГО ЦИТОХРОМА P-450 ИЗ МИТОХОНДРИЙ КОРЫ НАДПОЧЕЧНИКОВ БЫКА

#### I. ПЕПТИДЫ ИСЧЕРПЫВАЮЩЕГО ХИМОТРИПТИЧЕСКОГО ГИДРОЛИЗА

Чащин В. Л., Лапко В. Н., Адалович Т. Б.,  
Лапко А. Г., Куприна Н. С., Ахрем А. А.

Институт биоорганической химии Академии наук БССР, Минск

Проведены исчерпывающий химотриптический гидролиз карбоксиметилированного цитохрома P-450 и фракционирование продуктов гидролиза на катионите амиекс 50 Wx4 с последующим разделением отдельных фракций при помощи хроматографии на бумаге и метода пептидных карт в тонком слое целлюлозы. Выделено 66 индивидуальных пептидов, составляющих в сумме 476 аминокислот, и изучена их аминокислотная последовательность. Количество аминокислотных остатков, входящих в состав неперекрывающихся пептидов, равно 348, что соответствует 85% полного аминокислотного состава белка.

Основным компонентом мембранных связанных монооксигеназных систем, осуществляющих окисление различных физиологически активных соединений, является гемопротеин — цитохром P-450. В результате многочисленных работ [1—4] удалось выяснить функцию, выполняемую этим ферментом во многих тканях организма. Среди известных монооксигеназных систем особое место занимает холестерингидроксилаза — система, локализованная во внутренней мембране митохондрий клеток коры надпочечников. Интерес, проявляемый к этой системе, обусловлен тем, что холестерингидроксилаза осуществляет начальную стадию биосинтеза кортикостероидов — превращение холестерина в прогенеролон, а входящий в ее состав холестеринг-специфичный цитохром P-450 выполняет весь цикл многостадийной ферментативной трансформации холестерина. Однако до настоящего времени ни для одного из мембранных цитохромов P-450 животного происхождения не изучена первичная структура, и только совсем недавно появилась работа о структурных исследованиях цитохрома P-450 из *Pseudomonas putida* [5].

Данное сообщение является первым в серии, посвященной установлению полной аминокислотной последовательности холестерингидроксилазующего цитохрома P-450, и логичным продолжением работы, проведенной нами по изучению структурных основ функционирования этого гемопротеина на молекулярном уровне. Ранее было показано, что нативная молекула цитохрома P-450 состоит из двух доменов [6]. Выяснение первичной структуры белка позволит расположить в полипептидной цепи отдельные домены, а также сделать окончательный вывод о числе субъединиц, участвующих в ферментативной трансформации холестерина в прогенеролон.

При изучении первичной структуры цитохрома P-450 были использованы два дополняющих друг друга подхода: 1) исчерпывающий ферментативный гидролиз карбоксиметилированного цитохрома P-450, 2) ограниченный триптический гидролиз нативного белка до фрагментов  $\Phi_1$  ( $M = 27\,000$ ) и  $\Phi_2$  ( $M = 22\,000$ ) [7] с последующим их разделением и структурным анализом.

Учитывая мембранный природу цитохрома P-450, его аминокислотный состав, а также необходимость выделения пептидов, перекрывающих фрагменты  $\Phi_1$  и  $\Phi_2$ , для деструкции белка был выбран химотрипсин. Несмотря на трудности разделения химотриптического гидролизата, такой подход

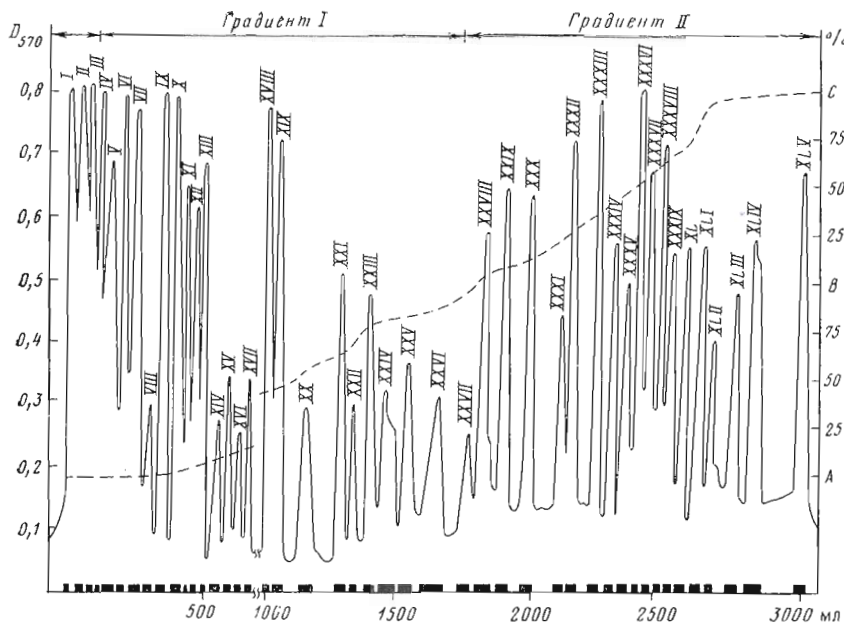


Рис. 1. Разделение растворимых химотриптических пептидов цитохрома Р-450 на катионите аминекс 50 Wx4 в градиенте пиридин-ацетатных буферов (см. «Экспер часть»). Черными прямоугольниками на оси абсцисс обозначены границы объединенных фракций

позволил бы избежать потерь небольших пептидов, возможно образующихся при ограниченном трипсинолизе цитохрома Р-450.

Молекула цитохрома Р-450 представляет собой полипептидную цепь с  $M_r$  49 000 [8]. Аминокислотный состав белка, рассчитанный на указанную молекулярную массу, оказался следующим: Asp – 36,60 (37); Thr – 22,01 (22); Ser – 23,83 (24); Glu – 48,71 (49); Pro – 24,95 (25); Gly – 21,62 (22); Ala – 20,43 (20); Cys – 3,66 (4); Val – 26,14 (26); Met – 8,79 (9); Phe – 25,42 (25); Leu – 42,06 (42); Тир – 14,97 (15); Phe – 25,42 (25); His – 11,17 (11); Lys – 26,61 (27); Arg – 23,76 (24); Трп – 8,08 (8). Цитохром Р-450 в гомогенном состоянии выделяли согласно методике, описанной ранее [8]. Полученный препарат цитохрома имел удельное содержание гема 18 нмоль/мг белка, а его спектрофотометрический индекс  $D_{393}/D_{280}$  был равен 0,83. N-Концевая аминокислотная последовательность карбоксиметилированного цитохрома Р-450, установленная с помощью секвенатора и с учетом ранее полученных данных [9], оказалась следующей: Phe-Ser-Thr-Lys-Thr-Pro-Arg-Pro-Tyr-Ser-Glu-Phe-Pro-Ser-Pro-Gly-Asp-X-Gly -Asn -Leu-Asn-Leu-Tyr-X-Phe. Применение карбоксицептидазы А позволило определить в качестве С-концевой аминокислоты цитохрома Р-450 аланин.

Непосредственно перед структурным анализом нативный белок обрабатывали согласно методике [10] для удаления простетической группы — протогема IX, а затем карбоксиметилировали моноиодуксусной кислотой в присутствии 8 М хлоргидрата гуанидина [11]. Гидролиз карбоксиметилированного цитохрома Р-450 химотрипсином проводили в стандартных условиях [12]. Для отделения нерастворимых при кислых значениях pH пептидов гидролизат подкисляли уксусной кислотой до pH 2,5 и далее центрифугировали. Первоначальное фракционирование растворимой части химотриптического гидролизата белка осуществляли с помощью ионообменной хроматографии на катионите АС 50 Wx4 в градиенте возрастающих концентраций (по пиридину) и pH пиридин-ацетатных буферов. В результате разделения было получено 45 объединенных фракций (рис. 1). Хроматография в тонком слое целлюлозы и N-концевой аминокислотный анализ фракций показали, что фракции VI, XII, XVIII, XIX, XXVIII, XXXVI, XXXIX, XL, XLII–XLV содержат индивидуальные пеп-

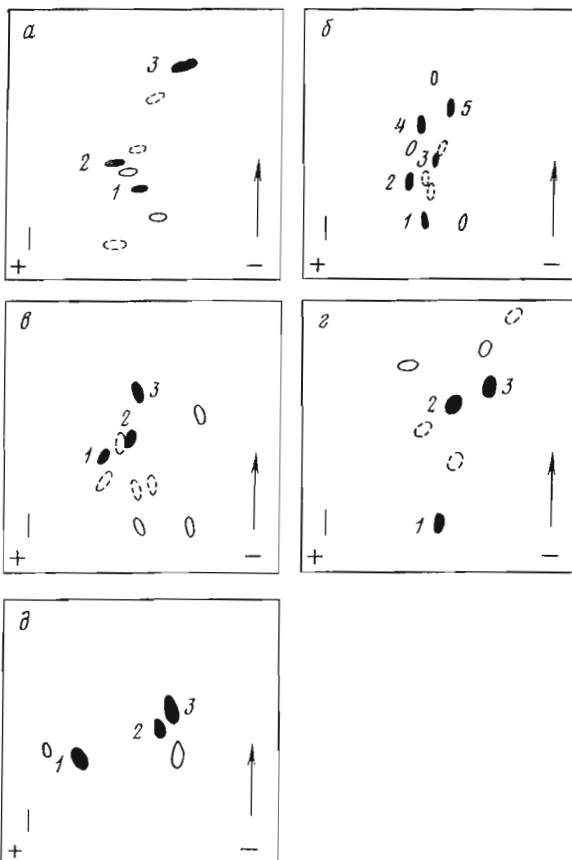


Рис. 2. Разделение методом пептидных карт фракций XXXII (а), XXXIII (б), XXXV (в), XXXVII (г), XXXVIII (д). Электрофорез осуществляли при рН 5,45 (а, б) и 3,5 (в – д). Стрелкой указано направление хроматографии в системе С

тиды, а фракция VIII — индивидуальную аминокислоту Ala. Для дальнейшего разделения фракций, содержащих сложные смеси пептидов, использовали метод пептидных карт при различных значениях рН. Так, высоковольтный электрофорез фракций XXXII и XXXIII проводили при рН 5,45, а в случае фракций XXXV, XXXVII и XXXVIII — при рН 3,5 (рис. 2). Остальные объединенные фракции имели несложный состав, и их разделяли хроматографией на бумаге. Для обнаружения триптофансодержащих пептидов все фракции были исследованы при помощи реактива Эрлиха. Триптофансодержащие пептиды были найдены в семи фракциях (V, XVII, XX, XXXI, XL, XLII и XLV), из которых впоследствии были выделены соответствующие пептиды: C-V, C-XVII, C-XX-2, C-XXXI-2, C-XL-2, C-XLII и C-XLV. Таким образом, из растворимой при кислых значениях рН части химотриптического гидролизата цитохрома P-450 было выделено 66 пептидов. Аминокислотный состав, N-концевые аминокислотные остатки и выход химотриптических пептидов приведены в табл. 1.

При исследовании нерастворимой при рН 2,5 части химотриптического гидролизата цитохрома P-450 было установлено, что в ней содержится смесь небольших количеств пептидного материала с частично гидролизованным белком.

Анализ фракций XV и XXX показал наличие пептидов C-XV-1 и C-XXX-1, не содержащих свободной  $\alpha$ -аминогруппы. По данным аминокислотного состава, в обоих пептидах имеются остатки глутаминовой кислоты. На основании этих данных можно предположить, что N-концевой аминокислотой в указанных пептидах является глутамин, который при кислых значениях рН среды превратился в пироглутамовую кислоту. С целью

Таблица 1

## Аминокислотный состав пентидов химотриптического гидролиза цитохрома Р-450

Аминокислота	C-I	C-II	C-III-1	C-III-2	C-IV-1	C-IV-2	C-V	C-VI	C-VII-1	C-VII-2	C-VIII	C-IX	C-X
Asp	2,02 (2)	1,00 (1)	2,34 (2)		1,64 (2)	0,72 (1)	2,23 (2)	0,77 (1) 0,73 (1)				0,92 (1)	
Thr					0,75 (1) 1,09 (1)	1,84 (2) 1,17 (1)		1,60 (1)				0,84 (1) 0,98 (1)	0,80 (1)
Ser	2,02 (2)	1,03 (1)	2,24 (2)	1,00 (1)	0,84 (1)	1,69 (2)	2,19 (2)		1,00 (1)				
Glu	1,78 (2)	1,81 (2)	2,00 (2)	0,87 (1)			2,00 (2)					0,85 (1)	2,00 (2)
Pro													
Gly													
Ala	1,44 (1)					0,77 (1)							
Val	0,94 (1)												
Met													
Ile													
Leu													
Тир													
Phe													
His													
Lys													
Arg													
Trp													
Число остатков	7	8	6	7		11		4		6		1	7
N-Капцевая аминокислота	Asn	Leu	Asn	Leu	Asp	Ser	Asp	Ile	Phe	Ala	Gly		Val
Выход, %	14,0	18,0	12,5	4,0	25,0	35,0	6,0	24,0	3,0	7,5	4,0	10,0	7,5

Таблица 1 (продолжение)

Аминокислота	C-XI	C-XII	C-XIII-1	C-XIII-2	C-XIV	C-XV-1	C-XV-2	C-XVI	C-XVII	C-XVIII	C-XIX	C-XX-1	C-XX-2
Asp	1,00(4)		2,44(2) 4,28(1)		0,84(1)	1,63(2) 0,93(1)		0,75(1)	0,66(1)	2,24(2)	0,81(1)	1,98(2)	
Thr							2,02(2) 4,03(1)	1,02(4)			1,23(4)	1,21(1)	4,81(2)
Ser			2,30(2) 1,03(1)	0,85(1) 0,82(1)					0,96(1)			0,83(1)	
Glu						2,04(2) 1,01(1)	0,94(1) 0,81(1)				1,11(4)		
Pro						0,70(1) 0,95(1)					1,20(1)		1,08(1)
Gly													
Ala	1,07(1)		2,41(2) 1,45(1)										
Val	1,23(1)												
Met			0,78(1)	4,00(4)		2,47(2) 1,00(1)							
Ile	4,00(4)												
Leu													
Tyr	0,91(4)				1,03(4)		4,00(4)						
Phe													
His													
Lys													
Arg													
Trp													
Число остатков	5	12	4	43	3	3	2	4	8	7	7	2	
N-Концевая аминокислота	Ile	Asn	Gly	Leu	Asn	Gln	Val	Asn	Thr	Val	Leu	Ser	Gly
Выход, %	45	18	42	10	3	25	7	4	4	18	12	2	45

Таблица 1 (продолжение)

Аминокислота	C-XXXI	C-XXXII-1	G-XXXII-2	C-XXXIII	C-XXXIV	C-XXXV	C-XXXVI	C-XXXVII	C-XXXVIII	C-XXXIX	C-XXXI-1	C-XXXI-2	C-XXXI-1
Asp	0,95(1) 0,86(1)	4,48(1)	4,41(1) 4,38(1)	4,24(1) 1,42(1)	0,67(1)	4,00(1) 2,29(2)	0,87(1) 0,75(1)	0,88(1)	0,88(1)	1,09(1) 0,99(1)	1,09(1) 0,99(1)	1,92(2)	
Thr	0,95(1)												
Ser	0,86(1)												
Glu													
Pro	0,95(1)												
Gly													
Ala													
Val	0,86(1)												
Met													
Ile													
Leu	1,00(1)												
Tyr													
Phe													
His	0,85(4)												
Lys													
Arg													
Trp													
Число остатков	6	5	6	18	8	8	6	3	44	2	9	5	19
N-Концевая аминокислота	His	Ala	Glu	Gly	Leu	Glu	Leu	Lys	Ile	Lys	Gln	Lys	Asn
Выход, %	45,0	40,0	7,5	7,5	3,5	3,0	2,0	2,0	44,0	4,4	9,2	8,3	40,4

Таблица I (продолжение)

Аминокислота	C-XXXI-2		C-XXXII-1		C-XXXII-2		C-XXXII-3		C-XXXII-4		C-XXXIII-5		C-XXXIV-6		C-XXXV-7		C-XXXVI-8	
	C-XXXI-1	C-XXXII-2	C-XXXII-3	C-XXXII-4	C-XXXII-5	C-XXXII-6	C-XXXII-7	C-XXXII-8	C-XXXII-9	C-XXXII-10	C-XXXII-11	C-XXXII-12	C-XXXII-13	C-XXXII-14	C-XXXII-15	C-XXXII-16	C-XXXII-17	
Asp	2,20(2)	1,06(1)	1,03(4)	1,01(1)	2,33(2)	2,00(2)										1,95(2)	1,03(1)	
Thr	1,01(1)	1,09(1)		1,15(1)	1,11(1)	1,00(1)										0,95(1)	0,94(1)	
Ser	1,89(2)	1,09(1)														2,19(2)	1,91(2)	
Glu		1,09(1)														1,00(1)	1,18(1)	1,00(1)
Pro	2,40(2)		1,08(1)													1,72(2)	0,90(1)	0,97(1)
Gly																0,93(1)	1,07(1)	0,87(1)
Ala			0,94(1)															
Val																		
Met																		
Ile																		
Leu																		
Tyr																		
Phe																		
His	1,00(1)																	
Lys	1,18(1)		1,98(2)															
Arg	1,00(1)																	
Trp	0,89(1)																	
Число остатков	44	9	5	3	6	9	10	3	3	5	10	3	3	5	3	11	7	
N-Концевая аминокислота	Ser	Leu	Arg	Lys	Asn	Ser	Leu	Arg	His	Lys	Leu	Arg	Asn	His	Arg	Asn	Val	
Выход, %	12,0	13,4	14,0	14,1	15,1	3,0	15,4	23,0	10,0	5,1	4,5	11,0	4,5	5,1	4,5	11,0	6,0	

### Таблица 1 (окончание)

Аминокислота	C-XXXVI	C-XXXVII-1			C-XXXVII-2			C-XXXVIII-1			C-XXXVIII-2			C-XXXVIII-3			C-XXXVIII-4		
		C-XXXVII-1	C-XXXVII-2	C-XXXVII-3	C-XXXVIII-1	C-XXXVIII-2	C-XXXVIII-3	C-XXXVIII-4	C-XXXVIII-5	C-XXXVIII-6	C-XXXVIII-7	C-XXXVIII-8	C-XXXVIII-9	C-XXXIX	C-XXXIX	C-XL-I	C-XL-II-2	C-XL-II-3	C-XL-II-4
Asp	1,81(2)	0,87(1)	1,82(2)	0,79(1)	1,14(1)	1,48(1)	0,71(1)	0,71(1)	1,06(1)	2,09(2)	0,94(1)	1,40(1)	0,97(1)	0,88(1)	2,00(2)	1,42(1)	1,02(1)	1,39(1)	4,05(1)
Thr	0,98(1)	0,82(1)	1,76(2)	1,92(2)	1,14(1)	1,48(1)	0,79(1)	0,72(2)	0,94(1)	1,72(2)	0,97(1)	1,40(1)	1,72(2)	1,00(1)	1,00(1)	0,81(1)	1,19(1)	1,48(1)	1,02(1)
Ser	2,05(2)	0,98(1)	0,98(1)	0,99(1)	0,88(2)	1,96(2)	0,98(1)	0,98(1)	0,98(1)	0,98(1)	0,97(1)	1,40(1)	0,97(1)	1,42(1)	1,42(1)	1,42(1)	1,42(1)	1,42(1)	1,04(1)
Glu																			1,40(1)
Pro																			1,02(1)
Gly																			1,01(1)
Ala																			
Val																			
Met																			
Ile																			
Leu																			
Tyr																			
Phe																			
His																			
Lys	0,99(1)	1,00(1)	1,00(1)	2,09(2)	1,00(1)	1,00(1)	1,00(1)	1,00(1)	1,00(1)	1,00(1)	1,00(1)	1,00(1)	1,00(1)	1,00(1)	1,00(1)	1,00(1)	1,00(1)	1,00(1)	0,97(1)
Arg																			0,97(1)
Trp																			0,73(1)
Число остатков	9	12	14	4	45	7	3	10	8	6	4	7	9	7	7	7	7	6	
N-Концевая аминокислота	Ile	Ala	Asn	Arg	Gly	Arg	Arg	Lys	Gly	Arg	Arg	Arg	Arg	Arg	Arg	Arg	Arg	Lys	
Выход, %	63,0	4,5	2,0	4,0	6,0	28,0	7,5	60,0	14,0	25,0	33,0	42,0	30,0	40,0	40,0	40,0	40,0	Lys	

подтверждения этого была проведена обработка пептидов C-XV-1 и C-XXX-1 1 н. раствором HCl в метаноле [13]. В результате при последующем N-концевом аминокислотном анализе были идентифицированы остатки глутаминовой кислоты.

Аминокислотную последовательность пептидов изучали по методу Эдмана с идентификацией аминокислот в виде дансильных (Dns-) производных, а для определения дикарбоновых кислот и их амидов использовали методику Розо [14]. В некоторых случаях, при анализе пептидов, содержащих триптофан, а также дикарбоновые кислоты и их амиды, применяли «прямой» метод Эдмана с идентификацией фенилтиогидантоновых (Pth-) производных аминокислот и метод Эдмана в модификации Чанга с идентификацией диметиламиноазобензолтиогидантоновых (DABTH-) производных аминокислот. С-Концевую аминокислотную последовательность определяли с помощью карбоксипептидазы А. В табл. 2 приведены результаты определения аминокислотной последовательности химотриптических пептидов цитохрома P-450.

*Пептид C-XXIII.* Деградацией по методу Эдмана с идентификацией Dns-производных аминокислот была установлена N-концевая аминокислотная последовательность данного пептида: Gly-Glu-Arg-Leu-Gly-Met-Leu-Glx-Glx-Thr-(Val, Asx, Pro, Glx<sub>2</sub>, Lys, Ala, Phe). Полную структуру определяли по методу Эдмана в модификации Чанга, что дало возможность определить аминокислотную последовательность первых 15 аминокислот, в том числе было установлено наличие глутаминовой кислоты в положениях 8 и 9, а также аспартатина — в положении 12. Карбоксипептидаза А отщепляла за 2 ч 88,4% фенилаланина. В связи с низким выходом полную аминокислотную последовательность пептида C-XXIII установить не удалось.

*Пептид C-XXXI-1.* N-Концевая аминокислотная последовательность пептида, включающая восемь аминокислотных остатков, была определена по методу Эдмана с идентификацией Dns-производных аминокислот: Asn-Ala-Arg-Arg-Glx-Ala-Glx-Gly-(Asx, Ile, Ser, Lys, Met, Leu, Glx<sub>2</sub>, Pro, Val, Leu).

Деградацией по методу Эдмана с идентификацией DABTH-производных аминокислот была установлена аминокислотная последовательность первых 13 аминокислотных остатков (см. табл. 2). Полное строение данного пептида установить не удалось из-за недостаточных количеств пептидного материала.

*Пептид C-XXXVIII-1.* Деградацией по методу Эдмана с идентификацией Dns-производных аминокислот была найдена последовательность первых 14 аминокислот. Для подтверждения наличия остатков глутаминовой кислоты в положениях 6 и 12 был проведен гидролиз пептида C-XXXVIII-1 глутамин-специфичной протеиназой из *Staphylococcus aureus*. Наличие в гидролизате таких N-концевых аминокислот, как глицин, лизин и серин, подтвердило расположение остатков глутаминовой кислоты в пептиде (см. табл. 2).

*Пептид C-XXXIX.* Методом Эдмана с идентификацией Dns-аминокислот определена аминокислотная последовательность первых шести аминокислотных остатков: Lys-Phe-Glx-Gly-Ser-Tyg-(Pro, Glx, Arg, Tyg). По данным аминокислотного анализа и первичной структуры двух химотриптических пептидов C-XXIX и C-XXV-1, входящих в состав пептида C-XXXIX, установлено полное строение пептида.

В результате гидролиза пептида C-XXXIX глутамин-специфичной протеиназой было доказано наличие остатка глутаминовой кислоты в положении 3 с N-конца пептида.

Таким образом, из химотриптического гидролизата цитохрома P-450 выделено и охарактеризовано 66 пептидов, которые объединяют в своем составе 476 аминокислотных остатков. Установлена полная структура всех пептидов, за исключением C-V, C-X, C-XXIII и C-XXXI-1, для которых определена только частичная последовательность аминокислот. Аналisis приведенных данных показал, что гидролиз цитохрома P-450 под действием химотрипсинии прошел в полном соответствии со специфичностью

Таблица 2

## Аминокислотная последовательность пептидов химотриптического гидролиза цитохрома P-450

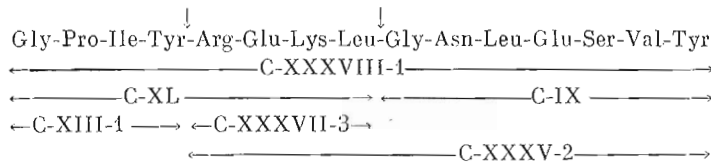


Таблица 2 (окончание)

Пептид	Аминокислотная последовательность
C-XL	Gly-Pro-Ile-Tyr-Arg-Glx-Lys-Leu ↓ ↓ ↓ ↓ ↓ ↓ ↓ ↔
C-XLI-1	His-Arg-Ile-Glu-Asn-Phe ↓ ↓ ↓ ↓ ↓ ↓ ↓
C-XLI-2	Pro-Thr-Arg-Trp ⇒ ⇒ ⇒ ⇒
C-XLII	Arg-Asp-His-Val-Ala-Ala-Trp ↓ ↓ ↓ ↓ ↓
C-XLIII	Arg-Lei-His-Pro-Ile-Ser-Val-Thr-Leu ⇒ ⇒ ⇒ ⇒ ⇒ ⇒ ⇒ ← ← ← ← ← ←
C-XLIV	Lys-Lys-Asp-Arg-Val-Val-Leu ↓ ↓ ↓ ↓ ↓ ↓ ↓
C-XLV	Lys-Lys-Ser-Gly-Thr-Trp ⇒ ⇒ ⇒ ⇒ ⇒ ⇒

*Примечание.* Стрелками показаны стадии деградации пептидов по методу Эдмана с идентификацией Dns-( $\rightarrow$ ), Dns- и Pth-( $\Rightarrow$ ) и DABT-N(-) производных аминокислот;  $\leftarrow$  — результаты C-концевого анализа с помощью карбоксилпептидазы А.

фермента. Подавляющее большинство химотриптических пептидов содержит в качестве C-концевых аминокислот остатки лейцина, фенилаланина, тирозина, триптофана и метионина. Расщепление пептидных связей по амидам дикарбоновых кислот привело к образованию четырех пептидов, C-XXVII, C-III-1, C-XII и C-XXII-1, причем три последних пептида были получены с достаточно высоким выходом. Образование пептидов C-XX-1 и C-XII-2 объясняется кислотным гидролизом пептидной связи Asp-Pro в процессе хроматографического разделения пептидов, что подтверждается аминокислотной последовательностью пептида C-XXXI-2. Получение большого числа перекрывающихся пептидов, по-видимому, можно интерпретировать неполнотой расщепления химотрипсином некоторых пептидных связей цитохрома P-450. Так, образование химотриптических пептидов C-XL, C-XXXV-2, C-XXXVIII-1 наряду с пептидами C-XIII-1, C-XXXVII-1 и C-IX объясняется неполным гидролизом связей Tyr-Arg и Leu-Gly (см. схему):



Аналогично в результате гидролиза химотрипсином по остаткам аспарagina, метионина и лейцина были выделены помимо пептида C-XXXI-1 три дополнительных: C-XXXV-1, C-XXXVII-1 и C-XXXVII-2 (см. табл. 2).

Анализ первичной структуры химотриптических пептидов показал, что суммарное количество аминокислотных остатков перекрывающихся пептидов равно 348, что составляет 85% аминокислот, входящих в состав цитохрома Р-450.

## Экспериментальная часть

Холестерин-специфичный цитохром Р-450 выделяли по методу, описанному ранее [8]. Повторная хроматография полученного препарата на колонке с адраподоксин-сепарозой в условиях работы [8] позволила получить гомогенный препарат белка, имеющий спектрофотометрический индекс чистоты  $D_{393}/D_{280} = 0,83$ .

Удаление протогема IX и крабоксиметилирование цитохрома Р-450. Лиофилизованный препарат белка сусpendingировали в 30% водном ацетоне

и подкисляли 0,1 н. HCl до полного растворения осадка. Далее белок осаждали 9-кратным избытком ацетона, полученный осадок отделяли центрифугированием и растворяли в трис-HCl-буфере, pH 8,6, содержащем 8 М хлоргидрат гуанидина, а затем карбоксиметилировали по стандартной методике [11].

*Химотриптический гидролиз карбоксиметилированного цитохрома P-450.* СМ-белок (2 мкмоль) суспендировали в 8 мл воды, очищенной от аминокислот, и денатурировали в термостатируемой ячейке при 98°С в течение 10 мин. После охлаждения до 37°С к суспензии белка приливали 7 мл 0,2 М раствора аммонийбикарбоната и доводили pH среды до 8,3, а затем добавляли порцию химотрипсина (Serva, ФРГ) до соотношения фермент — субстрат 1 : 100 (по весу). Гидролиз вели в атмосфере аргона при 37°С, при щадительном перемешивании. Через 2 ч добавляли вторую порцию химотрипсина (1 : 50). После 24 ч гидролизат лиофилизовали.

*Разделение химотриптического гидролизата СМ-цитохрома P-450.* Лиофильно высущенный гидролизат СМ-белка растворяли в 10% CH<sub>3</sub>COOH и растворимую при pH 2,5 часть гидролизата подвергали разделению на пептидном анализаторе, собранном на базе аминокислотного анализатора AAA-881 (Microtechna, ЧССР) [15]. Для хроматографии использовали колонку (0,9×60 см) высокого давления со смолой амишекс 50Wx4 (20—30 мкм) (Bio-Rad, США). Пептиды с колонки элюировали пиридин-ацетатными буферами с увеличивающимися значениями pH и молярности (до пиридину) со скоростью 24 мл/ч и давлением 20—28 атм. Начальная температура рубашки колонки 42°С; после 83 ч элюирования температуру поднимали до 57°С. Для создания градиента использовали смеситель типа Ultrogard (LKB, Швеция). Элюирование начинали 0,2 М пиридин-ацетатным буфером, pH 2,9 (стартовый буфер). Для дальнейшего хроматографирования создавали градиент I, используя в качестве буфера А стартовый буфер, а в качестве буфера В — 0,5 М пиридин-ацетатный буфер, pH 4,9. Для создания градиента II применяли буфер В и буфер С (2 М пиридин-ацетатный буфер, pH 5,0). Форму градиента задавали в зависимости от наблюдаемой картины разделения. На заключительном этапе промывку колонки осуществляли 2 М водным пиридином. Отбор элюата для реакции с нингидриновым реагентом проводили непрерывно со скоростью 1,2 мл/ч, а оставшаяся часть элюата поступала на автоматический коллектор фракций. Объем каждой фракции составлял 5,7 мл. Объединение фракций проводили согласно профилю элюирования пептидного материала с колонки и регистрации сигнала фотоколориметра на самописце после реакции этого же пептидного материала с нингидриновым реагентом, которая в нашем случае составляла 20 мин. Стая часть объединенных фракций использовалась для анализа на пластинках с тонким слоем целлюлозы в системе пиридин — n-бутанол — уксусная кислота — вода, 10 : 15 : 3 : 12 (С). Параллельно отбирали аликвоты для определения N-концевых аминокислотных остатков.

*Препартивное разделение пептидов химотриптического гидролизата методом пептидных карт и хроматографии на бумаге.* Пептидные карты смесей пептидов выполняли на пластинках (20×20 см) с тонким слоем целлюлозы марки Whatman № 300. Первопачально проводили электрофорез, а во втором направлении — хроматографию в системе С. Электрофорез осуществляли в течение 1 ч при pH 5,45 (пиридин — уксусная кислота — вода, 1 : 4 : 120), pH 3,5 (пиридин — уксусная кислота — вода, 0,3 : 15 : 109,7) при напряжении 1000 В. Пептиды обнаруживали после обработки пластиинки 0,025% раствором флуоресцина в ацетоне, содержащем 2,5% пиридина, а затем элюировали 20% уксусной кислотой и 30% пиридином.

Нисходящую хроматографию проводили на бумаге марки Whatman 3 MM (Англия) в системе С. Пептиды обнаруживали путем опрыскивания узких полос хроматограммы 0,2% раствором нингидрина в ацетоне. Найденные пептиды элюировали 20% уксусной кислотой.

*Аминокислотный анализ.* Пробы белка или пептидов гидролизовали 5,6 н. HCl в течение 24 и 72 ч при 110°С. Аминокислотный анализ осуществляли на аминокислотных анализаторах LC-2000 (Biotronik, ФРГ) и

LKB-3201 (Швеция). Для определения содержания триптофана гидролиз проводили 3 н. меркаптоэтанольфокислотой согласно [16].

Аминокислотные последовательности пептидов (0,01–0,03 мкмоль) определяли ручным методом Эдмана в модификации Хартли [17]. Для идентификации Dns-производных аминокислот использовали тонкослойную хроматографию на силикагеле и на полиамидных пластинках микрополиамид F 1700 (Schleicher und Schüll, ФРГ) [18]. В некоторых случаях использовали Pth-метод Эдмана [19] и для более длинных пептидов (до 0,01 мкмоль), содержащих 15–20 аминокислотных остатков, метод Эдмана в модификации Чанга [20].

## ЛИТЕРАТУРА

1. Estabrook R. W., Cooper D. Y., Rosenthal O. Biochem. Z., 1963, B. 338, S. 741–745.
2. Юдаев Н. А. В кн.: Современные вопросы эндокринологии. М.: Медицина, 1969, с. 7–20.
3. Gunsalus I. C., Pederson T. C., Sligar S. G. In: Annual Review of Biochemistry, 1975, v. 44, p. 377–408.
4. Gunsalus I. C., Meeks J. R., Lipscomb J. D., Debrunner P., Münck E. In: Molecular mechanisms of oxygen activation. N. Y.: Acad. Press, 1974, p. 559–613.
5. Gunsalus I. C. In: Abstracts fifth international symposium on microsomes and drug oxidation. Tokyo, 1981, p. 2.
6. Ахрем А. А., Василевский В. И., Шкуматов В. М., Чащин В. Л. Биоорганическая химия, 1979, т. 5, № 5, с. 789–791.
7. Ахрем А. А., Василевский В. И., Радюк В. Г., Шкуматов В. М., Чащин В. Л. Биоорганическая химия, 1980, т. 6, № 2, с. 285–295.
8. Ахрем А. А., Шкуматов В. М., Чащин В. Л. Биоорганическая химия, 1978, т. 4, № 2, с. 278–280.
9. Ахрем А. А., Лапко В. Н., Лапко А. Г., Шкуматов В. М., Чащин В. Л. Докл. АН СССР, 1978, т. 243, № 2, с. 505–507.
10. Strittmatter P. J. Biol. Chem., 1960, v. 235, № 8, p. 2492–2497.
11. Crestfield A. M., Moore S., Stein V. H. J. Biol. Chem., 1963, v. 238, № 2, p. 622.
12. Smyth D. G. In: Methods in Enzymology. N. Y.: Acad. Press, 1967, v. 11, p. 214–222.
13. Kawasaki I., Itano H. A. Anal. Biochem., 1972, v. 48, № 2, p. 546–556.
14. Roseau G., Pantel P. J. Chromatogr., 1969, v. 44, № 2, p. 392–395.
15. Ахрем А. А., Лапко А. Г., Лапко В. Н., Морозова Л. А., Репин В. А., Тищенко И. В., Чащин В. Л. Биоорганическая химия, 1978, т. 4, № 4, с. 462–475.
16. Penke B., Ferenczi R., Kovacs K. Anal. Biochem., 1974, v. 60, № 1, p. 45–50.
17. Bruton C. J., Hartley B. C. J. Mol. Biol., 1970, v. 52, № 2, p. 165–178.
18. Woods K., Wang K. Biochem. et biophys. acta, 1967, v. 133, № 2, p. 369–370.
19. Модянов Н. Н., Липкин В. М., Смирнов Ю. В., Чертов О. Ю., Потапенко Н. А., Шувалова Т. М. Биоорганическая химия, 1978, т. 4, № 2, с. 158–178.
20. Chang J. Y., Creaser E. H. Biochem. J., 1976, v. 157, № 1, p. 77–85.

Поступила в редакцию  
10.III.1982

## PRIMARY STRUCTURE OF 20S, 22R-CHOLESTEROL HYDROXYLATING CYTOCHROME P-450 FROM ADRENAL CORTEX MITOCHONDRIA. I. PEPTIDES OF EXHAUSTIVE CHYMOTRYPTIC HYDROLYSIS

CHASHCHIN V. L., LAPKO V. N., ADAMOVICH T. B.,  
LAPKO A. G., KUPRINA N. S., AKHREM A. A.

Institute of Bioorganic Chemistry, Academy of Sciences  
of the Byelorussian SSR, Minsk

Exhaustive chymotryptic hydrolysis of carboxymethylated cytochrome P-450 and hydrolysate fractionation of Amines 50Wx4, followed by separation of some fractions using paper chromatography or thin-layer cellulose peptide mapping have been carried out. As a result, 66 individual peptides amounting in total to 476 amino acids have been isolated and their amino acid sequences investigated. The non-overlapping peptides comprised 348 amino acid residues, that corresponds to 85% of the total amino acid composition of the protein.